

고분자 재료의 Tracking 진전시 온도특성
(A characteristic Temperature of tracking
in High polarization Materials)

박동화* (인천대학교)

이보호 (승진대학교)

서성범 (승진대학교)

1. 서론

유기고분자재료는 표면의 습윤, 오손에 의한 누설전류가 흐르면 국부적인 견조 대가 형성되어 방전이 발생되어 부분적인 탄화입화가 진전된다.

Plastic cable 과 같은 유기고분자재료의 절연파괴진전의 경우, 수년~수 10년이 경과하는 과정에 형성되므로 장기수명에 대한 선별방법으로 가속시험의 여러가지 방법이 연구되고 있다.

국제적 내 Tracking 성 시험의 경우, 일반적인 인가전압특성, 이상특성에 대한 연구는 수희 보고되고 있으며, Tracking 파괴시의 이상특성의 발생요인으로서 견조 대의 형성에 미치는 영향이^{1), 5)} Tracking 발생의 높이 평가되고 있어 전극간의 전해액의 특성을 밟히는 것은 Tracking을 해석하는데 중요한 문제로 생각된다.

따라서, 본 논문에서는 Track 형성과정의 견조 대형성에 미치는 온도특성을 고찰해 보았다.

2. 실험 장치 및 방법

본 실험에서 사용한 시료는 기존 상품 확인 제품으로서 그 특성은 Table 1과 같다.

시료의 크기는 $35 \times 2.5 \times 3$ [mm]로 절단하여 예열기를 잘 세척한 후 잘 닦아 48시간정도 견조 함 속에서 견조 시킨 후 표면 특성을 30~50 배의 현미경으로 관찰하여 섬유 방향을 전극간의 방향과 일치하도록 하

었다.

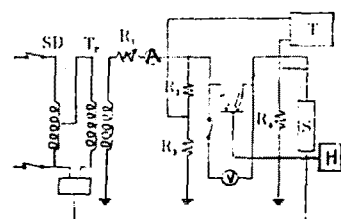
전해액은 0.1~0.5%의 NH_4Cl (일본: 순정화학 Co.)를 사용하였다.

Table 1.

제작	供試材	phenolic resin	Epoxy resin
유수온 (°C)	24 h 3.2 mm	0.1~0.2	0.08~0.13
내인온도 (°C)		120	150
燃燒性	서서히燃燒	自燃	
絕緣破壞強度 (kV/mm)	14	15	
耐アクリ性 (sec)	Tracks		
比誘電率 (20°C , 60Hz)	5~6.5	3.89	
體積抵抗率 (20°C , $(\Omega \cdot \text{m})$)	$11^3 \sim 10^{10}$	$10^4 \sim 10^5$	
屈屈強度 (kg/cm^2)	1200	1100	
比重	1.25~1.30	1.11~1.23	
製造會社	維新(社)	OAK(社)	

실험 장치는 I.E.C 추장 내 Track - ing 성(습식법) 시험 장치의 규격에 따라 제작하였으며 그 구성회로는 Fig. 1 과 같다.

Fig. 2는 온도측정 장치로서 열전대(직경 0.2 mm)의 C-C를 사용하여 열전대 표면 온도 측정법으로 5회이상 측정하여 평균하였다.



S.D. : Slidac, Tr : 100V/600V, RJK : 可變抵抗
T : O, S.C., H : 溫度測定, S : 電壓器

Fig. 1. Experimental circuit for I.E.C
112 method

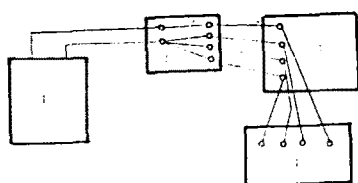


Fig 2. Heating Apparatus

1. Cold Junction 2. Bakelite plate
3. Hot Junction 4. Digital multimeter

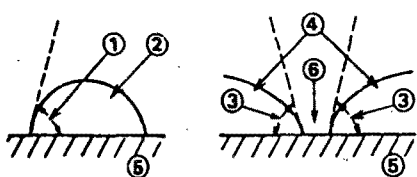


Fig 3. Schematic model of contact angle and angle of the angle of electrolyte
1: Contact angle, 2.: Droplet,
3: Angle of electrolyte, 4: Electrolyte,
5: Sample, 6: Dry band

3. 실험 결과 및 고찰

(1) 전해액의 접촉각 측정

전극 간에 전해액을 적학시 건조 대의 형성과 정은 전해액의 상태에 의존하는 경우가 많다.

시료의 종류에 따라 접촉각(Fig 3 참조)은 상이하므로 이 접촉각의 변화에 따라 전해액의 형상은 쌍곡 방물면과 흡착하므로 방물면으로 가정하면 이 전해액의 단면적(S)은

$$S = 2 \int_0^x (-ax^2 + b) dx$$

의식으로 나타낼수 있다.

이식을 적용하여 전극간 중앙부분의 전해액의 단면적(S_c)과 전극과 접촉하는 부분의 단면적(S_p)을 계산한 값과 측정한 접촉각의 크기는 Table 2와 같다.

Table 2

시료	S_c	S_p	S_p/S_c	접촉각(°)
파늘 수지	4.4	6.0	1.36	52
풀리카	4.0	6.3	1.58	70
이폭시수지	4.4	6.9	1.59	96

일반적으로 접촉각의 크기가 증가함에 따라

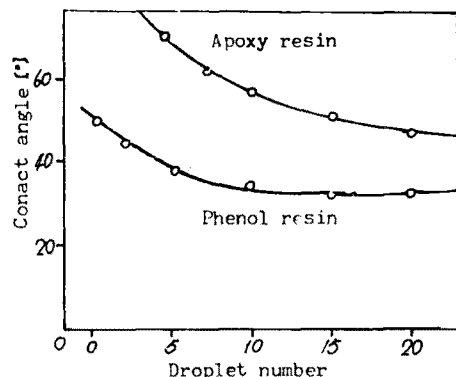


Fig 4. Relation between contact angle and droplet number

전해액의 단면적은 증가하며 Fig 4는 적학수의 증가에 따른 접촉각의 크기를 측정한 것이다.

(2) 건조 대의 형성과정

Tracking 파괴에 미치는 건조 대의 영향을 고찰하기 위하여 100(V)에서 전해액을 적학후 인가시간과 전해액의 감소량(Fig 5) 및 시험 전압에 따른 건조대형성 최소 적학수(Fig 6)와의 관계를 측정하였다.

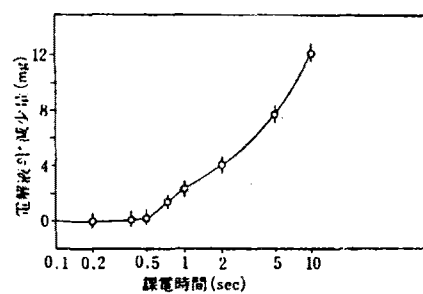


Fig 5. Decreased mass of electrolyte with intermittent electric source.

Fig 7은 쿠로나 방전개시 전압과 적학수와의 관계이다.

건조 대가 개시되는 위치는 일반적으로 300(V) 미만에서는 전극 단에서, 300(V) 이상에서는 전극간 중앙에서 Tracking의 기점(용출금속의 기점)으로부터 발생된다.

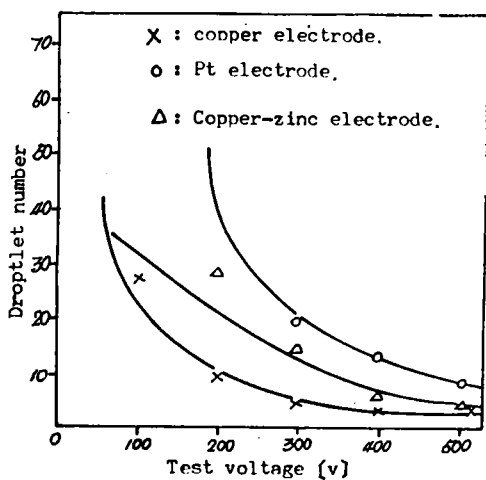


Fig. 6. Relation between test voltage and minimum droplet for forming dryband

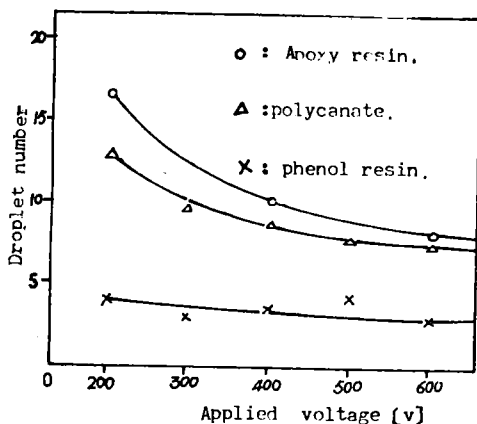


Fig. 7. Relation between applied voltage and droplet number to corona discharge inception

(3) 전해액의 온도변화

Fig 8은 전극간에 전해액이 적하후 시간경과에 따른 온도의 변화이며 Fig 9, Fig 10은 배적하후 20초가 경과시의 전해액의 온도변화를 나타낸것이다. (그림은 별도)

4. 결론

전해액의 접촉 각이 큰 시료일수록 전해액의 단면적은 증가되고 건조대의 형성은 적은 적하수에서 이루어 지며, 건조대의 개시전압이 큰 전극 재료는 $P_t > C_z > Cu$ 의 순서를 나

마난다.

코로나 방전개시와 건조대 형성의 위치는 서로 상응하고 있는 경우가 많음을 고찰할 수 있다.

参考文献

- 1) Draft appendix to I.E.C. pub 112, 1962. 12, 1967. 6, 1971. 12.
- 2) Draft Appendix to I.E.C. 15A (central office) 32, 1977.
- 3) ドラッキング現象と耐ドラッキング性試験法の動向, 日本電気学会技術報告, 第26号, 1982. 1.
- 4) N. Yoshimura, M. Nishida & F. Noto: Influence of the electrolyte on tracking breakdown of organic insulating materials, IEEE Trans, Elect, Insulation, EI-16, 1981, p.510
- 5) 吉村, 西田, 能登, “有機絶縁材料のトラッキングにおける炭化開始過程”, 日本電気学会論文集A, 1982. 8, p. 101, p. 429.
- 6) 同上, “紙基材エーラル樹脂のドラッキングにおける塗出金属の影響”, 日本電気学会論文集A, 1979, p. P. 439 - 445.
- 7) 西田, 吉村, 能登, “有機絶縁材料表面のトラッキング”破壊における乾燥膜の形成過程, 日本電気学会論文集A, 1982, pp. 593 ~ 600.
- 8) 紺, 金属電気化学, 東京, 共立出版社, 1976, p. 124
- 9) 蒲田, 井, 須原, 中西, “尼山川工場キセイ樹脂の耐ドラッキング性”, 絶縁材料研究会(昭53)
- 10) Mandelcorn, L. & Sommerman, G. M., Tracking and arc resistance of materials Proc., Electrical Insulation Conf., 1963.
- 11) Kaufmann, W., A testing method for tracking resistance of insulating paths, (in German) Electrtech, Z. 83, 801-7, 1962.
- 12) K.T.L. paciorek, R.H. Kratzer, F.F.C Lee, J.H. Nakahara, D.H. Harris, Moist Tracking Investigation of organic Insulating materials IEEE Transactions on Electrical Insulation, Vol EI-17, No.5, 1982. 10.